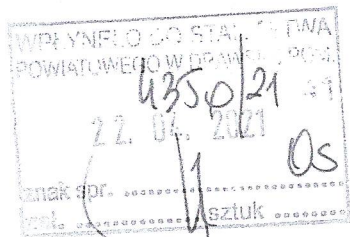


SP/708/4/2021/JN

Gdynia, 14.04.2021 r.



Starostwo Powiatowe w Drawsku Pomorskim
Wydział Ochrony Środowiska
Plac Elizy Orzeszkowej 3
78-500 Drawsko Pomorskie

MW
29.04.2021
[Signature]

PROWADZĄCY INSTALACJE: Polkomtel Infrastruktura Sp. z o.o., ul. Konstruktorska 4, 02-673 Warszawa

DOTYCZY: Stacji bazowej telefonii komórkowej **BT43293 KALISZ POMORSKI**
Zlokalizowanej pod adresem: dz. nr 16/2, obręb 0009 Kalisz Pomorski, ul. Sadowa, gmina Kalisz Pomorski, powiat drawski, woj. zachodniopomorskie

Działając w imieniu inwestora w trybie art. 152 ust. 6 pkt. 1 ustawy z dnia 27 kwietnia 2001r. Prawo Ochrony Środowiska (tekst jedn.: Dz. U. z 2020 r. poz. 1219) informuję o zmianie danych zawartych w zgłoszeniu instalacji stacji bazowej telefonii komórkowej BT43293 KALISZ POMORSKI zlokalizowanej pod adresem dz. nr 16/2, obręb 0009 Kalisz Pomorski, gmina Kalisz Pomorski, powiat drawski, woj. zachodniopomorskie.

Informuje, przedmiotowa zmiana danych instalacji nie jest zmianą istotną, zgodnie z art. 3 pkt 7 ustawy Prawo Ochrony Środowiska (Dz.U.2020.1219 t.j. z dnia 2020.07.09).

Z poważaniem

Adres korespondencyjny:

Axians Networks Poland Sp. z o.o.
Ul. Rdestowa 51; 81-577 Gdynia

W załączeniu:

- 1) Upoważnienie inwestora
- 2) Sprawozdanie z pomiarów pól elektromagnetycznych dla celów ochrony ludności i środowiska
- 3) Formularz zgłoszenia instalacji

FORMULARZ ZMIANY DANYCH W ZGŁOSZENIU INSTALACJI WYTWARZAJĄCYCH POLA ELEKTROMAGNETYCZNE

I. Wypełnia podmiot prowadzący instalację dokonujący jej zgłoszenia

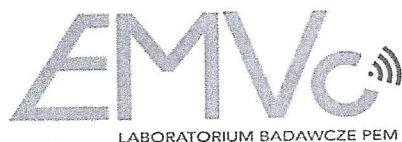
1. Nazwa i adres organu ochrony środowiska właściwego do przyjęcia zgłoszenia
*Starostwo Powiatowe w Drawsku Pomorskim
Wydział Ochrony Środowiska
Plac Elizy Orzeszkowej 3
78-500 Drawsko Pomorskie*
2. Nazwa instalacji zgodna z nazewnictwem stosowanym przez prowadzącego instalację
stacja bazowa BT43293 KALISZ POMORSKI (ext. 28)
3. Określenie nazw jednostek terytorialnych (gmin, powiatów i województw), na których terenie znajduje się instalacja, wraz z podaniem symboli KTS¹⁾ jednostek terytorialnych, na których terenie znajduje się instalacja
*KTS1 1002000000000 PÓŁNOCNO-ZACHODNI
KTS2 1002320000000 Zachodniopomorskie
KTS3 1002321000000 Zachodniopomorskie
KTS4 10023216400000 Szczecinecko-pyrzycki
KTS5 10023216403000 drawski
KTS6 10023216403034 Kalisz Pomorski*
4. Oznaczenie prowadzącego instalację, jego adres zamieszkania lub siedziby
Prowadzący instalację: Polkomtel Infrastruktura Sp. z o.o., ul. Konstruktorska 4, 02-673 Warszawa;
5. Adres zakładu, na którego terenie prowadzona jest eksploatacja instalacji
dz. nr 16/2, obręb 0009 Kalisz Pomorski gmina Kalisz Pomorski; powiat drawski; województwo zachodniopomorskie
6. Rodzaj instalacji, zgodnie z załącznikiem nr 2 do rozporządzenia Ministra Środowiska z dnia 2 lipca 2010 r. w sprawie zgłoszenia instalacji wytwarzających pola elektromagnetyczne (Dz. U. Nr 130, poz. 879)
instalacje radiokomunikacyjne, których równoważna moc promieniowania izotropowo wynosi nie mniej niż 15W, emitujące pola elektromagnetyczne o częstotliwościach od 30 kHz do 300 GHz
7. Rodzaj i zakres prowadzonej działalności, w tym wielkość produkcji lub wielkość świadczonych usług
działalność w zakresie telekomunikacji przewodowej i bezprzewodowej.
8. Czas funkcjonowania instalacji (dni tygodnia i godziny)
7 dni w tygodniu, 24 godziny na dobę
9. Wielkość i rodzaj emisji²⁾
*sumaryczna moc EIRP anten sektorowych 163753 W
sumaryczna moc EIRP anten radioliniowych 36248 W*
10. Opis stosowanych metod ograniczania emisji
Parametry stacji bazowej zostały tak dobrane, aby ponadnormatywny poziom pola elektromagnetycznego nie występował w miejscach dostępnych dla ludności.
11. Informacja, czy stopień ograniczania wielkości emisji jest zgodny z obowiązującymi przepisami
W miejscach dostępnych dla ludności poziom pola elektromagnetycznego nie przekracza wartości ponadnormatywnych.
12. Szczegółowe dane, odpowiednio do rodzaju instalacji, zgodne z wymaganiami określonymi w załączniku nr 2 do rozporządzenia:

1) współrzędne geograficzne anten	2) częstotliwość pracy	3) wysokości środków elektrycznych anten nad poziomem terenu	4) EIRP - równoważna moc promieniowana izotropowo	5) zakresy azymutów i kątów pochylenia osi głównych wiązek promieniowania
53-17-11.68N 15-54-06.97E	900 Mhz	55,00 m	12466 W	Azymut 15° Pochylenie 0°-8°
53-17-11.68N 15-54-06.97E	900 Mhz	63,50 m	12775 W	Azymut 125° Pochylenie 0°-8°
53-17-11.68N 15-54-06.97E	900 Mhz	63,50 m	6859 W	Azymut 280° Pochylenie 0°-8°
53-17-11.68N 15-54-06.97E	1800 Mhz 2100 Mhz	55,00 m	4935 W 5647 W	Azymut 20° Pochylenie 0°-6°
53-17-11.68N 15-54-06.97E	1800 Mhz	55,00 m	4935 W	Azymut 140° Pochylenie 0°-6°
53-17-11.68N 15-54-06.97E	1800 Mhz 2100 Mhz	55,00 m	4935 W 3765 W	Azymut 260° Pochylenie 0°-6°
53-17-11.68N 15-54-06.97E	2600 Mhz	55,00 m	19986 W	Azymut 20° Pochylenie 1°-8°
53-17-11.68N 15-54-06.97E	2600 Mhz	63,50 m	19986 W	Azymut 240° Pochylenie 1°-8°
53-17-11.68N 15-54-06.97E	2600 Mhz	63,50 m	19986 W	Azymut 310° Pochylenie 1°-8°

53-17-11.68N 15-54-06.97E	2600 Mhz	52,00 m	5620 W	Azymut 40° Pochylenie 2°-8°
53-17-11.68N 15-54-06.97E	2600 Mhz	52,00 m	5492 W	Azymut 120° Pochylenie 0°-6°
53-17-11.68N 15-54-06.97E	2600 Mhz	52,00 m	5492 W	Azymut 230° Pochylenie 0°-6°
53-17-11.68N 15-54-06.97E	2600 Mhz	52,00 m	5620W	Azymut 300° Pochylenie 2°-8°
53-17-11.68N 15-54-06.97E	2600 Mhz	52,00 m	5620 W	Azymut 355° Pochylenie 2°-8°
53-17-11.68N 15-54-06.97E	900 Mhz	52,00 m	6859 W	Azymut 70° Pochylenie 0°-8°
53-17-11.68N 15-54-06.97E	900 Mhz	52,00 m	12775 W	Azymut 220° Pochylenie 0°-8°
53-17-11.68N 15-54-06.97E	13 GHz	67,30 m	8511,38 W	Azymut 5°
53-17-11.68N 15-54-06.97E	23 GHz	34,10 m	5888,44 W	Azymut 152°
53-17-11.68N 15-54-06.97E	18 GHz D2	67,30 m	4677,35 W	Azymut 159°
53-17-11.68N 15-54-06.97E	23 GHz	39,10 m	5888,44 W	Azymut 229°
53-17-11.68N 15-54-06.97E	13 GHz	57,80 m	3981,07 W	Azymut 241°
53-17-11.68N 15-54-06.97E	23 GHz	44,10 m	5888,44 W	Azymut 271°
53-17-11.68N 15-54-06.97E	23 GHz	67,30 m	1412,54 W	Azymut 307°
6) Na podstawie wykonanej analizy stwierdza się, że w odległościach od anten sektorowych, określonych zgodnie z Rozporządzeniem Rady Ministrów z dnia 10 września 2019 r. w sprawie przedsięwzięć mogących znacząco oddziaływać na środowisko (Dz.U z 2019 r. poz. 1839), wzdłuż osi głównych wiązek promieniowania tych anten, nie występują miejsca dostępne dla ludności				
7) Sprawozdanie z pomiarów poziomów pól elektromagnetycznych – załącznik nr 2				
13. Miejscowość, data (rok - miesiąc - dzień): Imię i nazwisko osoby reprezentującej prowadzącą instalację				
Podpis			Gdynia, 14.04.2021 r.	
II. Wypełnia organ ochrony środowiska przyjmujący zgłoszenie				
Data zarejestrowania zgłoszenia			Numer zgłoszenia	
.....			

Objaśnienia:

- 1) System Kodowania Jednostek Terytorialnych i Statystycznych (KTS) wprowadzony Zarządzeniem wewnętrznym nr 22 Prezesa Głównego Urzędu Statystycznego z dnia 24 sierpnia 2017 r. w sprawie wprowadzenia Systemu Kodowania Jednostek Terytorialnych i Statystycznych
- 2) W przypadku stacji elektroenergetycznych i napowietrznych linii elektroenergetycznych - napięcie znamionowe, a w przypadku pozostałych instalacji - równoważne moce promieniowane izotropowo (EIRP) poszczególnych anten.
- 3) Liczba porządkowa zgodna z numeracją punktów w odpowiednich do rodzaju instalacji ustępach załącznika nr 2 do rozporządzenia.

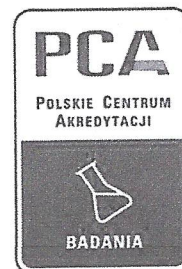


Laboratorium EMVO Sp. J. Urbański, Pawelak

ul. Jasna 1
00-013 Warszawa

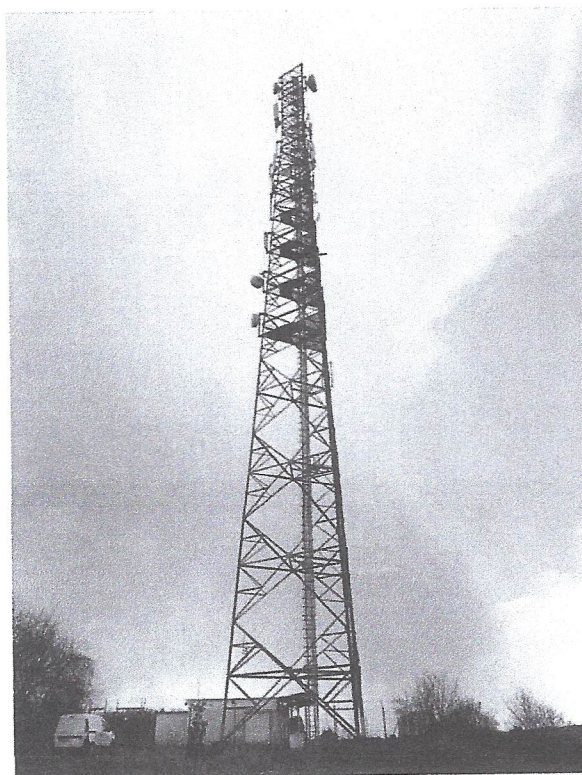
tel. +48 22 780 29 64

e-mail: laboratorium@emvo.pl



AB 1630

**Sprawozdanie z pomiarów pól elektromagnetycznych - środowisko ogólne
nr 02/04/OŚ/2021 - ELT**



Nr i nazwa stacji	BT43293 KALISZ POMORSKI	
Adres	Kalisz Pomorski, ul. Lipinki 4, dz. nr 16/2, pow. drawski, woj. zachodniopomorskie	
Opracowanie		Specjalista ds. pomiarów
Autoryzacja		Kierownik Laboratorium
Podpis		
Data	2021-04-06	

Spis treści

1. Informacje ogólne.....	3
2. Podstawa prawna.....	3
3. Opis pomiarów.....	3
4. Zróżnicowanie dopuszczalne poziomy pól elektromagnetycznych.....	5
5. Charakterystyka źródeł PEM.....	5
6. Wyniki pomiarów.....	6
7. Stwierdzenie zgodności	12
8. Oświadczenie.....	12
9. Spis załączników.	12

1. Informacje ogólne.

Zleceniodawca	Axians Networks Poland Sp. z o.o., ul. Żupnicza 17, 03-821 Warszawa osoba udzielająca informacji –
Istotne informacje dostarczone przez klienta	komplet informacji niezbędnych do wykonania pomiarów i opracowania sprawozdania
Dane otrzymane od klienta mogące mieć wpływ na ważność wyników	Dane anten sektorowych, dane anten radioliniowych, parametry pracy instalacji, poprawka pomiarowa, ustawienie pochylenia anten
Prowadzący instalację	Polkomtel Infrastruktura sp. z o.o., ul. Konstruktorska 4, 02-673 Warszawa
Lokalizacja obiektu	Kalisz Pomorski, ul. Lipinki 4, dz. nr 16/2, pow. drawski, woj. zachodniopomorskie
Miejsce instalacji anten	stalowa wieża kratowa
Miejsce instalacji urządzeń	kontener
Osoby wykonujące pomiar	-
Data wykonania pomiaru	2021-04-06
Temperatura na początku pomiaru [°C]	5
Temperatura na koniec pomiaru [°C]	6
Warunki atmosferyczne	Brak opadów.
Wilgotność na początku pomiaru [%]	54
Wilgotność na koniec pomiaru [%]	53
Inne źródła pól elektromagnetycznych oznaczone na załączniku graficznym	występują
Parametry pracy instalacji	eksploatacyjne

2. Podstawa prawna.

2.1 Normy i rozporządzenia:

- Rozporządzeniem Ministra Klimatu z dnia 17 lutego 2020 r. w sprawie sposobów sprawdzania dotrzymania dopuszczalnych poziomów pól elektromagnetycznych w środowisku (Dz.U. 2020 poz. 258)
- Rozporządzenie Ministra Zdrowia z dnia 17 grudnia 2019 r. w sprawie dopuszczalnych poziomów pól elektromagnetycznych w środowisku (Dz.U. 2019 poz. 2448)
- Obwieszczenie Marszałka Sejmu Rzeczypospolitej Polskiej z dnia 19 lipca 2019 r. w sprawie ogłoszenia jednolitego tekstu ustawy - Prawo ochrony środowiska (Dz.U. 2019 poz. 1396).

3. Opis pomiarów.

Metodologia pomiarowa	Pomiary w oparciu o Rozporządzeniem Ministra Klimatu z dnia 17 lutego 2020 r. w sprawie sposobów sprawdzania dotrzymania dopuszczalnych poziomów pól elektromagnetycznych w środowisku (Dz.U. 2020 poz. 258).
Cel badań	Określenie wartości natężenia pola elektrycznego w miejscach dostępnych dla ludności.
Opis zestawu pomiarowego	Miernik Narda NBM 520, Sonda EF 9091, o zakresie pomiarowym 0,7 V/m - 400V/m pracująca w paśmie 0,1 – 90 GHz, świadectwo wydane przez

Laboratorium Wzorców i Metrologii Pola Elektromagnetycznego, Instytut Telekomunikacji, Teleinformatyki i Akustyki Politechniki Wrocławskiej. Świadectwo ważne do 15.07.2021r.

Miernik Narda NBM 520, Sonda EF 9091 pracuje w zakresie temperatury -10°C - +50°C oraz wilgotności 5% - 95%.

Wyposażenie pomocnicze

Niepewność rozszerzona 37,6% przy poziomie ufności 95% z uwzględnieniem współczynnika rozszerzenia k=2.

Termohigrometr Termoprodukt, typ: Termik+, nr identyfikacyjny 700618, świadectwo wzorcowania nr 1763/AH/19 z dn. 29.07.2019 r. wydane przez Laboratorium Pomiarowe "MUTECH".

Przymiar wstępowy STABILA, nr identyfikacyjny 31WL, świadectwo wzorcowania nr 6W1/1826/19 z dn. 02.08.2019 r. wydane przez Dyrektora Okręgowego Urzędu Miar w Gdańsku.

GPS Garmin 64s okresowo sprawdzany w punktach osnowy geodezyjnej klasy 3 na podstawie licencji punktu, zgodnie z procedurą sprawdzeń okresowych IS/PO16-11/03.

Pomiary zostały wykonane

1. na głównych i pomocniczych kierunkach pomiarowych, na kierunkach zbliżonych do azymutów anten oraz w dodatkowych pionach pomiarowych zgodnie z wymaganiami pkt 12, 13, 14 i 19 załącznika do rozporządzenia Ministra Klimatu z dnia 17 lutego 2020 r. (Dz. U. 2020, poz. 258),
2. na obszarze pomiarowym, dla którego, na podstawie uprzednio wykonanych obliczeń uzyskanych od zleceniodawcy, stwierdzono możliwość występowania pól elektromagnetycznych o poziomach zbliżonych do poziomów dopuszczalnych zgodnie z wymaganiami pkt 5 ppkt 2 oraz pkt 13 ppkt 1 załącznika do rozporządzenia Ministra Klimatu z dnia 17 lutego 2020 r. (Dz. U. 2020, poz. 258). Wyniki obliczeń nie uwzględniały parametrów pracy instalacji innych operatorów występujących na obiekcie bądź w obszarze pomiarowym.
3. w miejscach dostępnych dla ludności.
4. miejsca niedostępne podczas wykonywania pomiarów wskazane zostały w pkt 6 (tabeli wyniki pomiarów)
5. wyniki pomiarów uzyskane zostały przy uwzględnieniu poprawek pomiarowych przekazanych przez zleceniodawcę oraz przy rzeczywistych warunkach pracy instalacji innych operatorów (w przypadku występowania). W takiej sytuacji uwzględniono jednolitą poprawkę pomiarową wynoszącą 2,00

Szczególne warunki podczas wykonywania pomiarów

Pomiary wykonane zostały podczas obowiązywania w kraju stanu epidemii, zgodnie z art. 122a ust. 1b Ustawy z dnia 27 kwietnia 2001 r. – Prawo ochrony środowiska (Dz. U. z 2019 r. poz. 1396, z późn. zm.9))

Warunki pracy urządzeń nadawczych

Podczas pomiarów zostały uwzględnione poprawki pomiarowe przekazane przez zleceniodawcę, umożliwiające uwzględnienie maksymalnych parametrów pracy instalacji zgodnie z pkt 7 załącznika do Rozporządzeniem Ministra Klimatu z dnia 17 lutego 2020 r. w sprawie sposobów sprawdzania dotrzymania dopuszczalnych poziomów pól elektromagnetycznych w środowisku (Dz. U. 2020, poz. 258).

4. Zróżnicowanie dopuszczalne poziomy pól elektromagnetycznych.

Zakresy znajdują się w Dzienniku Ustaw z dnia 17 grudnia 2019 r. przedstawione są w tabeli nr 2 (Dz. U. z 2019r. poz. 2448).

Parametr fizyczny Zakres Częstotliwości pola elektromagnetycznego	Składowa elektryczna E (V/m)	Składowa magnetyczna H (A/m)	Gęstość mocy S (W/m ²)
od 400 MHz do 2000 MHz	$1,375 \times f^{0,5}$	$0,0037 \times f^{0,5}$	$f / 200$
od 2 GHz do 300 GHz	61	0,16	10

5. Charakterystyka źródeł PEM.

Zgodnie z informacją otrzymaną od Klienta pomiary zostały wykonane przy ustawieniach pochylecia anten zgodnych z pkt. 13, ppkt 2 załącznika do rozporządzenia Ministra Klimatu z dnia 17 lutego 2020 roku.

Anteny sektorowe – dane otrzymane od klienta

Typ anteny	Współrzędne geograficzne	Azymut [°]	Wysokość zawieszenia anten (środek anteny) n.p.t. [m]	Pasma częstotliwości	Zakres pochylecia elektrycznego [°]	Średnie pochylecie anten (ustawione do pomiarów PEM) [°]	Zakres pochylecia mechanicznego [°]	Moc EIRP [W]
A704521R0V06	E: 15° 54' 6,9" N: 53° 17' 11,6"	15	55,00	900	0 - 8	4	0	12466
A704521R0V06	E: 15° 54' 6,9" N: 53° 17' 11,6"	125	63,50	900	0 - 8	4	0	12775
A794517R0V06	E: 15° 54' 6,9" N: 53° 17' 11,6"	280	63,50	900	0 - 8	4	0	6859
742213	E: 15° 54' 6,9" N: 53° 17' 11,6"	20	55,00	1800	0 - 6	4,5	0	10582
				2100	0 - 6	4,5		
742213	E: 15° 54' 6,9" N: 53° 17' 11,6"	140	55,00	1800	0 - 6	3	0	4935
742213	E: 15° 54' 6,9" N: 53° 17' 11,6"	260	55,00	1800	0 - 6	3	0	8700
				2100	0 - 6	3		
120125	E: 15° 54' 6,9" N: 53° 17' 11,6"	20	55,00	2600	1 - 8	4,5	0	19986
120125	E: 15° 54' 6,9" N: 53° 17' 11,6"	240	63,50	2600	1 - 8	4,5	0	19986
120125	E: 15° 54' 6,9" N: 53° 17' 11,6"	310	63,50	2600	1 - 8	4,5	0	19986
80010678	E: 15° 54' 6,9" N: 53° 17' 11,6"	40	52,00	2600	2 - 8	5	0	5620
80010651	E: 15° 54' 6,9" N: 53° 17' 11,6"	120	52,00	2600	0 - 6	3	0	5492
80010651	E: 15° 54' 6,9" N: 53° 17' 11,6"	230	52,00	2600	0 - 6	3	0	5492
80010678	E: 15° 54' 6,9" N: 53° 17' 11,6"	300	52,00	2600	2 - 8	5	0	5620
80010678	E: 15° 54' 6,9" N: 53° 17' 11,6"	355	52,00	2600	2 - 8	5	0	5620
A794517R0V06	E: 15° 54' 6,9" N: 53° 17' 11,6"	70	55,00	900	0 - 8	4	0	6859
A704521R0V06	E: 15° 54' 6,9" N: 53° 17' 11,6"	220	55,00	900	0 - 8	4	0	12775

Anteny radioliniowe – dane otrzymane od klienta

Typ anteny	Współrzędne geograficzne	Azymut [°]	Średnica [m]	Pasma częstotliwości [GHz]	Zysk energetyczny [dBi]	Moc wyjściowa nadajnika [dBm]	EIRP [W]	Wysokość zawieszenia anteny n.p.t. [m]
UKY 210 51/SC15D	E: 15° 54' 6,9" N: 53° 17' 11,6"	5	1,8	13	45,3	24	8511,38	67,3
UKY 210 44/SC15	E: 15° 54' 6,9" N: 53° 17' 11,6"	152	1,2	23	46,7	21	5888,44	34,1
UKY 210 43/DC15	E: 15° 54' 6,9" N: 53° 17' 11,6"	159	1,2	18	44,7	22	4677,35	67,3
UKY 210 44/DC15	E: 15° 54' 6,9" N: 53° 17' 11,6"	229	1,2	23	46,7	21	5888,44	39,1
UKY 210 41/DC15	E: 15° 54' 6,9" N: 53° 17' 11,6"	241	1,2	13	42,0	24	3981,07	57,8
UKY 210 44/DC15	E: 15° 54' 6,9" N: 53° 17' 11,6"	271	1,2	23	46,7	21	5888,44	44,1
UKY 220 45/SC15	E: 15° 54' 6,9" N: 53° 17' 11,6"	307	0,6	23	40,5	21	1412,54	67,3

6. Wyniki pomiarów.

Wyniki pomiarów pól elektromagnetycznych dla celów ochrony środowiska przedstawia poniższa tabela. Piony pomiarowe zostały przedstawione w zał. 2.

Nr PP	Pole-E [V/m]	Pole-E*kE,+U [V/m]	Pole-H [A/m]	Pole-H*kE,+U [A/m]	Wys. pomiaru [m]	Opis pionu	Uwagi	WME	WMH
1	<0,7*	<1,93	<0,002	<0,006	0,3 - 2,0	N: 53° 17' 13,2" E: 15° 54' 7,5"	otoczenie stacji nadawczej - ok. 50 m od obiektu wzdłuż gł. osi promieniowania - GKP	<0,069	<0,068
2	<0,7*	<1,93	<0,002	<0,006	0,3 - 2,0	N: 53° 17' 14,5" E: 15° 54' 7,8"	otoczenie stacji nadawczej - ok. 100 m od obiektu wzdłuż gł. osi promieniowania - GKP	<0,069	<0,068
3	<0,7*	<1,93	<0,002	<0,006	0,3 - 2,0	N: 53° 17' 16,3" E: 15° 54' 8,6"	otoczenie stacji nadawczej - ok. 150 m od obiektu wzdłuż gł. osi promieniowania - GKP	<0,069	<0,068
4	<0,7*	<1,93	<0,002	<0,006	0,3 - 2,0	N: 53° 17' 17,9" E: 15° 54' 9,2"	otoczenie stacji nadawczej - ok. 200 m od obiektu wzdłuż gł. osi promieniowania - GKP	<0,069	<0,068
5	<0,7*	<1,93	<0,002	<0,006	0,3 - 2,0	N: 53° 17' 19,5" E: 15° 54' 9,8"	otoczenie stacji nadawczej - ok. 250 m od obiektu wzdłuż gł. osi promieniowania - GKP	<0,069	<0,068
6	<0,7*	<1,93	<0,002	<0,006	0,3 - 2,0	N: 53° 17' 21,1" E: 15° 54' 10,4"	otoczenie stacji nadawczej - ok. 300 m od obiektu wzdłuż gł. osi promieniowania - GKP	<0,069	<0,068
7	<0,7*	<1,93	<0,002	<0,006	0,3 - 2,0	N: 53° 17' 22,7" E: 15° 54' 11"	otoczenie stacji nadawczej - ok. 350 m od obiektu wzdłuż gł. osi promieniowania - GKP	<0,069	<0,068
8	<0,7*	<1,93	<0,002	<0,006	0,3 - 2,0	N: 53° 17' 24,2" E: 15° 54' 11,5"	otoczenie stacji nadawczej - ok. 400 m od obiektu wzdłuż gł. osi promieniowania - GKP	<0,069	<0,068
9	<0,7*	<1,93	<0,002	<0,006	0,3 - 2,0	N: 53° 17' 13" E: 15° 54' 8,3"	otoczenie stacji nadawczej - ok. 50 m od obiektu wzdłuż gł. osi promieniowania - GKP	<0,069	<0,068
10	<0,7*	<1,93	<0,002	<0,006	0,3 - 2,0	N: 53° 17' 14,5" E: 15° 54' 8,9"	otoczenie stacji nadawczej - ok. 100 m od obiektu wzdłuż gł. osi promieniowania - GKP	<0,069	<0,068
11	<0,7*	<1,93	<0,002	<0,006	0,3 - 2,0	N: 53° 17' 16" E: 15° 54' 9,5"	otoczenie stacji nadawczej - ok. 150 m od obiektu wzdłuż gł. osi promieniowania - GKP	<0,069	<0,068
12	<0,7*	<1,93	<0,002	<0,006	0,3 - 2,0	N: 53° 17' 17,8" E: 15° 54' 10,1"	otoczenie stacji nadawczej - ok. 200 m od obiektu wzdłuż gł. osi promieniowania - GKP	<0,069	<0,068
13	<0,7*	<1,93	<0,002	<0,006	0,3 - 2,0	N: 53° 17' 19,3" E: 15° 54' 10,9"	otoczenie stacji nadawczej - ok. 250 m od obiektu wzdłuż gł. osi promieniowania - GKP	<0,069	<0,068
14	<0,7*	<1,93	<0,002	<0,006	0,3 - 2,0	N: 53° 17' 20,9" E: 15° 54' 11,7"	otoczenie stacji nadawczej - ok. 300 m od obiektu wzdłuż gł. osi promieniowania - GKP	<0,069	<0,068
15	<0,7*	<1,93	<0,002	<0,006	0,3 - 2,0	N: 53° 17' 22,4" E: 15° 54' 12,5"	otoczenie stacji nadawczej - ok. 350 m od obiektu wzdłuż gł. osi promieniowania - GKP	<0,069	<0,068
16	<0,7*	<1,93	<0,002	<0,006	0,3 - 2,0	N: 53° 17' 24" E: 15° 54' 13,4"	otoczenie stacji nadawczej - ok. 400 m od obiektu wzdłuż gł. osi promieniowania - GKP	<0,069	<0,068
17	<0,7*	<1,93	<0,002	<0,006	0,3 - 2,0	N: 53° 17' 12,7" E: 15° 54' 9,1"	otoczenie stacji nadawczej - ok. 50 m od obiektu wzdłuż gł. osi promieniowania - GKP	<0,069	<0,068
18	<0,7*	<1,93	<0,002	<0,006	0,3 - 2,0	N: 53° 17' 14,2" E: 15° 54' 10,2"	otoczenie stacji nadawczej - ok. 100 m od obiektu wzdłuż gł. osi promieniowania - GKP	<0,069	<0,068

„Bez pisemnej zgody Laboratorium niniejsze sprawozdanie nie może być powielane inaczej, jak tylko w całości. Ponadto wyniki dotyczą tylko badanych obiektów przywołanych w niniejszym sprawozdaniu z badań”

19	<0,7*	<1,93	<0,002	<0,006	0,3 - 2,0	N: 53° 17' 15,5" E: 15° 54' 11,8"	otoczenie stacji nadawczej - ok. 150 m od obiektu wzdłuż gł. osi promieniowania - GKP	<0,069	<0,068
20	<0,7*	<1,93	<0,002	<0,006	0,3 - 2,0	N: 53° 17' 16,7" E: 15° 54' 13,4"	otoczenie stacji nadawczej - ok. 200 m od obiektu wzdłuż gł. osi promieniowania - GKP	<0,069	<0,068
21	<0,7*	<1,93	<0,002	<0,006	0,3 - 2,0	N: 53° 17' 18" E: 15° 54' 15,1"	otoczenie stacji nadawczej - ok. 250 m od obiektu wzdłuż gł. osi promieniowania - GKP	<0,069	<0,068
22	<0,7*	<1,93	<0,002	<0,006	0,3 - 2,0	N: 53° 17' 19,3" E: 15° 54' 16,7"	otoczenie stacji nadawczej - ok. 300 m od obiektu wzdłuż gł. osi promieniowania - GKP	<0,069	<0,068
23	<0,7*	<1,93	<0,002	<0,006	0,3 - 2,0	N: 53° 17' 20,6" E: 15° 54' 18,4"	otoczenie stacji nadawczej - ok. 350 m od obiektu wzdłuż gł. osi promieniowania - GKP	<0,069	<0,068
24	<0,7*	<1,93	<0,002	<0,006	0,3 - 2,0	N: 53° 17' 21,9" E: 15° 54' 20"	otoczenie stacji nadawczej - ok. 400 m od obiektu wzdłuż gł. osi promieniowania - GKP	<0,069	<0,068
25	<0,7*	<1,93	<0,002	<0,006	0,3 - 2,0	N: 53° 17' 12" E: 15° 54' 9,5"	otoczenie stacji nadawczej - ok. 50 m od obiektu wzdłuż gł. osi promieniowania - GKP	<0,069	<0,068
26	<0,7*	<1,93	<0,002	<0,006	0,3 - 2,0	N: 53° 17' 12,8" E: 15° 54' 11,8"	otoczenie stacji nadawczej - ok. 100 m od obiektu wzdłuż gł. osi promieniowania - GKP	<0,069	<0,068
27	<0,7*	<1,93	<0,002	<0,006	0,3 - 2,0	N: 53° 17' 13,5" E: 15° 54' 14,3"	otoczenie stacji nadawczej - ok. 150 m od obiektu wzdłuż gł. osi promieniowania - GKP	<0,069	<0,068
28	<0,7*	<1,93	<0,002	<0,006	0,3 - 2,0	N: 53° 17' 14,1" E: 15° 54' 16,8"	otoczenie stacji nadawczej - ok. 200 m od obiektu wzdłuż gł. osi promieniowania - GKP	<0,069	<0,068
29	<0,7*	<1,93	<0,002	<0,006	0,3 - 2,0	N: 53° 17' 14,7" E: 15° 54' 19,3"	otoczenie stacji nadawczej - ok. 250 m od obiektu wzdłuż gł. osi promieniowania - GKP	<0,069	<0,068
30	<0,7*	<1,93	<0,002	<0,006	0,3 - 2,0	N: 53° 17' 15,3" E: 15° 54' 21,8"	otoczenie stacji nadawczej - ok. 300 m od obiektu wzdłuż gł. osi promieniowania - GKP	<0,069	<0,068
31	<0,7*	<1,93	<0,002	<0,006	0,3 - 2,0	N: 53° 17' 15,9" E: 15° 54' 24,3"	otoczenie stacji nadawczej - ok. 350 m od obiektu wzdłuż gł. osi promieniowania - GKP	<0,069	<0,068
32	<0,7*	<1,93	<0,002	<0,006	0,3 - 2,0	N: 53° 17' 16,6" E: 15° 54' 26,8"	otoczenie stacji nadawczej - ok. 400 m od obiektu wzdłuż gł. osi promieniowania - GKP	<0,069	<0,068
33	<0,7*	<1,93	<0,002	<0,006	0,3 - 2,0	N: 53° 17' 17,2" E: 15° 54' 29,3"	otoczenie stacji nadawczej - ok. 450 m od obiektu wzdłuż gł. osi promieniowania - GKP	<0,069	<0,068
34	<0,7*	<1,93	<0,002	<0,006	0,3 - 2,0	N: 53° 17' 17,8" E: 15° 54' 31,8"	otoczenie stacji nadawczej - ok. 500 m od obiektu wzdłuż gł. osi promieniowania - GKP	<0,069	<0,068
35	<0,7*	<1,93	<0,002	<0,006	0,3 - 2,0	N: 53° 17' 11,3" E: 15° 54' 9,7"	otoczenie stacji nadawczej - ok. 50 m od obiektu wzdłuż gł. osi promieniowania - GKP	<0,069	<0,068
36	0,9	2,48	0,002	0,007	1,6	N: 53° 17' 10,1" E: 15° 54' 11,6"	otoczenie stacji nadawczej - ok. 100 m od obiektu wzdłuż gł. osi promieniowania - GKP	0,088	0,087
37	<0,7*	<1,93	<0,002	<0,006	0,3 - 2,0	N: 53° 17' 9,4" E: 15° 54' 14"	otoczenie stacji nadawczej - ok. 150 m od obiektu wzdłuż gł. osi promieniowania - GKP	<0,069	<0,068
38	<0,7*	<1,93	<0,002	<0,006	0,3 - 2,0	N: 53° 17' 8,6" E: 15° 54' 16,4"	otoczenie stacji nadawczej - ok. 200 m od obiektu wzdłuż gł. osi promieniowania - GKP	<0,069	<0,068
39	<0,7*	<1,93	<0,002	<0,006	0,3 - 2,0	N: 53° 17' 7,9" E: 15° 54' 18,8"	otoczenie stacji nadawczej - ok. 250 m od obiektu wzdłuż gł. osi promieniowania - GKP	<0,069	<0,068
40	<0,7*	<1,93	<0,002	<0,006	0,3 - 2,0	N: 53° 17' 7,1" E: 15° 54' 21,2"	otoczenie stacji nadawczej - ok. 300 m od obiektu wzdłuż gł. osi promieniowania - GKP	<0,069	<0,068
41	<0,7*	<1,93	<0,002	<0,006	0,3 - 2,0	N: 53° 17' 6,4" E: 15° 54' 23,6"	otoczenie stacji nadawczej - ok. 350 m od obiektu wzdłuż gł. osi promieniowania - GKP	<0,069	<0,068
42	<0,7*	<1,93	<0,002	<0,006	0,3 - 2,0	N: 53° 17' 5,6" E: 15° 54' 26"	otoczenie stacji nadawczej - ok. 400 m od obiektu wzdłuż gł. osi promieniowania - GKP	<0,069	<0,068
43	<0,7*	<1,93	<0,002	<0,006	0,3 - 2,0	N: 53° 17' 4,9" E: 15° 54' 28,4"	otoczenie stacji nadawczej - ok. 450 m od obiektu wzdłuż gł. osi promieniowania - GKP	<0,069	<0,068
44	<0,7*	<1,93	<0,002	<0,006	0,3 - 2,0	N: 53° 17' 4,1" E: 15° 54' 30,8"	otoczenie stacji nadawczej - ok. 500 m od obiektu wzdłuż gł. osi promieniowania - GKP	<0,069	<0,068
45	<0,7*	<1,93	<0,002	<0,006	0,3 - 2,0	N: 53° 17' 10,7" E: 15° 54' 9"	otoczenie stacji nadawczej - ok. 50 m od obiektu wzdłuż gł. osi promieniowania - GKP	<0,069	<0,068
46	<0,7*	<1,93	<0,002	<0,006	0,3 - 2,0	N: 53° 17' 9,6" E: 15° 54' 11,1"	otoczenie stacji nadawczej - ok. 100 m od obiektu wzdłuż gł. osi promieniowania - GKP	<0,069	<0,068
47	<0,7*	<1,93	<0,002	<0,006	0,3 - 2,0	N: 53° 17' 9" E: 15° 54' 13,7"	otoczenie stacji nadawczej - ok. 150 m od obiektu wzdłuż gł. osi promieniowania - GKP	<0,069	<0,068
48	<0,7*	<1,93	<0,002	<0,006	0,3 - 2,0	N: 53° 17' 8,1" E: 15° 54' 16"	otoczenie stacji nadawczej - ok. 200 m od obiektu wzdłuż gł. osi promieniowania - GKP	<0,069	<0,068
49	<0,7*	<1,93	<0,002	<0,006	0,3 - 2,0	N: 53° 17' 7,3" E: 15° 54' 18,2"	otoczenie stacji nadawczej - ok. 250 m od obiektu wzdłuż gł. osi promieniowania - GKP	<0,069	<0,068
50	<0,7*	<1,93	<0,002	<0,006	0,3 - 2,0	N: 53° 17' 6,4" E: 15° 54' 20,5"	otoczenie stacji nadawczej - ok. 300 m od obiektu wzdłuż gł. osi promieniowania - GKP	<0,069	<0,068
51	<0,7*	<1,93	<0,002	<0,006	0,3 - 2,0	N: 53° 17' 5,5" E: 15° 54' 22,8"	otoczenie stacji nadawczej - ok. 350 m od obiektu wzdłuż gł. osi promieniowania - GKP	<0,069	<0,068

„Bez pisemnej zgody Laboratorium niniejsze sprawozdanie nie może być powielane inaczej, jak tylko w całości. Ponadto wyniki dotyczą tylko badanych obiektów przywołanych w niniejszym sprawozdaniu z badań”
02/04/OŚ/2021 - ELT

52	<0,7*	<1,93	<0,002	<0,006	0,3 - 2,0	N: 53° 17' 4,6" E: 15° 54' 25"	otoczenie stacji nadawczej - ok. 400 m od obiektu wzdłuż gł. osi promieniowania - GKP	<0,069	<0,068
53	<0,7*	<1,93	<0,002	<0,006	0,3 - 2,0	N: 53° 17' 3,8" E: 15° 54' 27,3"	otoczenie stacji nadawczej - ok. 450 m od obiektu wzdłuż gł. osi promieniowania - GKP	<0,069	<0,068
54	<0,7*	<1,93	<0,002	<0,006	0,3 - 2,0	N: 53° 17' 2,9" E: 15° 54' 29,6"	otoczenie stacji nadawczej - ok. 500 m od obiektu wzdłuż gł. osi promieniowania - GKP	<0,069	<0,068
55	<0,7*	<1,93	<0,002	<0,006	0,3 - 2,0	N: 53° 17' 2" E: 15° 54' 31,9"	otoczenie stacji nadawczej - ok. 550 m od obiektu wzdłuż gł. osi promieniowania - GKP	<0,069	<0,068
56	<0,7*	<1,93	<0,002	<0,006	0,3 - 2,0	N: 53° 17' 1,2" E: 15° 54' 34,1"	otoczenie stacji nadawczej - ok. 600 m od obiektu wzdłuż gł. osi promieniowania - GKP	<0,069	<0,068
57	<0,7*	<1,93	<0,002	<0,006	0,3 - 2,0	N: 53° 17' 0,3" E: 15° 54' 36,4"	otoczenie stacji nadawczej - ok. 650 m od obiektu wzdłuż gł. osi promieniowania - GKP	<0,069	<0,068
58	<0,7*	<1,93	<0,002	<0,006	0,3 - 2,0	N: 53° 17' 10,3" E: 15° 54' 8,5"	otoczenie stacji nadawczej - ok. 50 m od obiektu wzdłuż gł. osi promieniowania - GKP	<0,069	<0,068
59	0,8	2,20	0,002	0,006	1,6	N: 53° 17' 9,2" E: 15° 54' 10,5"	otoczenie stacji nadawczej - ok. 100 m od obiektu wzdłuż gł. osi promieniowania - GKP	0,079	0,078
60	<0,7*	<1,93	<0,002	<0,006	0,3 - 2,0	N: 53° 17' 8" E: 15° 54' 12,3"	otoczenie stacji nadawczej - ok. 150 m od obiektu wzdłuż gł. osi promieniowania - GKP	<0,069	<0,068
61	<0,7*	<1,93	<0,002	<0,006	0,3 - 2,0	N: 53° 17' 6,8" E: 15° 54' 14,1"	otoczenie stacji nadawczej - ok. 200 m od obiektu wzdłuż gł. osi promieniowania - GKP	<0,069	<0,068
62	<0,7*	<1,93	<0,002	<0,006	0,3 - 2,0	N: 53° 17' 5,6" E: 15° 54' 16"	otoczenie stacji nadawczej - ok. 250 m od obiektu wzdłuż gł. osi promieniowania - GKP	<0,069	<0,068
63	<0,7*	<1,93	<0,002	<0,006	0,3 - 2,0	N: 53° 17' 4,4" E: 15° 54' 17,8"	otoczenie stacji nadawczej - ok. 300 m od obiektu wzdłuż gł. osi promieniowania - GKP	<0,069	<0,068
64	<0,7*	<1,93	<0,002	<0,006	0,3 - 2,0	N: 53° 17' 3,2" E: 15° 54' 19,6"	otoczenie stacji nadawczej - ok. 350 m od obiektu wzdłuż gł. osi promieniowania - GKP	<0,069	<0,068
65	<0,7*	<1,93	<0,002	<0,006	0,3 - 2,0	N: 53° 17' 2,1" E: 15° 54' 21,4"	otoczenie stacji nadawczej - ok. 400 m od obiektu wzdłuż gł. osi promieniowania - GKP	<0,069	<0,068
66	<0,7*	<1,93	<0,002	<0,006	0,3 - 2,0	N: 53° 17' 0,9" E: 15° 54' 23,2"	otoczenie stacji nadawczej - ok. 450 m od obiektu wzdłuż gł. osi promieniowania - GKP	<0,069	<0,068
67	<0,7*	<1,93	<0,002	<0,006	0,3 - 2,0	N: 53° 16' 59,7" E: 15° 54' 25,1"	otoczenie stacji nadawczej - ok. 500 m od obiektu wzdłuż gł. osi promieniowania - GKP	<0,069	<0,068
68	<0,7*	<1,93	<0,002	<0,006	0,3 - 2,0	N: 53° 16' 58,5" E: 15° 54' 26,9"	otoczenie stacji nadawczej - ok. 550 m od obiektu wzdłuż gł. osi promieniowania - GKP	<0,069	<0,068
69	<0,7*	<1,93	<0,002	<0,006	0,3 - 2,0	N: 53° 16' 57,3" E: 15° 54' 28,7"	otoczenie stacji nadawczej - ok. 600 m od obiektu wzdłuż gł. osi promieniowania - GKP	<0,069	<0,068
70	<0,7*	<1,93	<0,002	<0,006	0,3 - 2,0	N: 53° 16' 56,1" E: 15° 54' 30,5"	otoczenie stacji nadawczej - ok. 650 m od obiektu wzdłuż gł. osi promieniowania - GKP	<0,069	<0,068
71	0,8	2,20	0,002	0,006	1,4	N: 53° 17' 9,9" E: 15° 54' 5,9"	otoczenie stacji nadawczej - ok. 50 m od obiektu wzdłuż gł. osi promieniowania - GKP	0,079	0,078
72	0,9	2,48	0,002	0,007	1,7	N: 53° 17' 9" E: 15° 54' 3,6"	otoczenie stacji nadawczej - ok. 100 m od obiektu wzdłuż gł. osi promieniowania - GKP	0,088	0,087
73	<0,7*	<1,93	<0,002	<0,006	0,3 - 2,0	N: 53° 17' 7,8" E: 15° 54' 1,9"	otoczenie stacji nadawczej - ok. 150 m od obiektu wzdłuż gł. osi promieniowania - GKP	<0,069	<0,068
74	<0,7*	<1,93	<0,002	<0,006	0,3 - 2,0	N: 53° 17' 6,5" E: 15° 54' 0,3"	otoczenie stacji nadawczej - ok. 200 m od obiektu wzdłuż gł. osi promieniowania - GKP	<0,069	<0,068
75	<0,7*	<1,93	<0,002	<0,006	0,3 - 2,0	N: 53° 17' 5,2" E: 15° 53' 58,7"	otoczenie stacji nadawczej - ok. 250 m od obiektu wzdłuż gł. osi promieniowania - GKP	<0,069	<0,068
76	<0,7*	<1,93	<0,002	<0,006	0,3 - 2,0	N: 53° 17' 3,9" E: 15° 53' 57"	otoczenie stacji nadawczej - ok. 300 m od obiektu wzdłuż gł. osi promieniowania - GKP	<0,069	<0,068
77	<0,7*	<1,93	<0,002	<0,006	0,3 - 2,0	N: 53° 17' 2,6" E: 15° 53' 55,4"	otoczenie stacji nadawczej - ok. 350 m od obiektu wzdłuż gł. osi promieniowania - GKP	<0,069	<0,068
78	<0,7*	<1,93	<0,002	<0,006	0,3 - 2,0	N: 53° 17' 1,3" E: 15° 53' 53,7"	otoczenie stacji nadawczej - ok. 400 m od obiektu wzdłuż gł. osi promieniowania - GKP	<0,069	<0,068
79	<0,7*	<1,93	<0,002	<0,006	0,3 - 2,0	N: 53° 17' 0,1" E: 15° 53' 52,1"	otoczenie stacji nadawczej - ok. 450 m od obiektu wzdłuż gł. osi promieniowania - GKP	<0,069	<0,068
80	<0,7*	<1,93	<0,002	<0,006	0,3 - 2,0	N: 53° 16' 58,8" E: 15° 53' 50,5"	otoczenie stacji nadawczej - ok. 500 m od obiektu wzdłuż gł. osi promieniowania - GKP	<0,069	<0,068
81	<0,7*	<1,93	<0,002	<0,006	0,3 - 2,0	N: 53° 16' 57,5" E: 15° 53' 48,8"	otoczenie stacji nadawczej - ok. 550 m od obiektu wzdłuż gł. osi promieniowania - GKP	<0,069	<0,068
82	0,8	2,20	0,002	0,006	1,6	N: 53° 17' 10,3" E: 15° 54' 5,1"	otoczenie stacji nadawczej - ok. 50 m od obiektu wzdłuż gł. osi promieniowania - GKP	0,079	0,078
83	1,0	2,75	0,003	0,007	1,3	N: 53° 17' 9,4" E: 15° 54' 2,9"	otoczenie stacji nadawczej - ok. 100 m od obiektu wzdłuż gł. osi promieniowania - GKP	0,098	0,097
84	<0,7*	<1,93	<0,002	<0,006	0,3 - 2,0	N: 53° 17' 8,3" E: 15° 54' 0,9"	otoczenie stacji nadawczej - ok. 150 m od obiektu wzdłuż gł. osi promieniowania - GKP	<0,069	<0,068

„Bez pisemnej zgody Laboratorium niniejsze sprawozdanie nie może być powielane inaczej, jak tylko w całości. Ponadto wyniki dotyczą tylko badanych obiektów przywołanych w niniejszym sprawozdaniu z badań”
02/04/OŚ/2021 - ELT

85	<0,7*	<1,93	<0,002	<0,006	0,3 - 2,0	N: 53° 17' 7,2" E: 15° 53' 58,9"	otoczenie stacji nadawczej - ok. 200 m od obiektu wzdłuż gł. osi promieniowania - GKP	<0,069	<0,068
86	<0,7*	<1,93	<0,002	<0,006	0,3 - 2,0	N: 53° 17' 6,1" E: 15° 53' 56,9"	otoczenie stacji nadawczej - ok. 250 m od obiektu wzdłuż gł. osi promieniowania - GKP	<0,069	<0,068
87	<0,7*	<1,93	<0,002	<0,006	0,3 - 2,0	N: 53° 17' 5" E: 15° 53' 54,9"	otoczenie stacji nadawczej - ok. 300 m od obiektu wzdłuż gł. osi promieniowania - GKP	<0,069	<0,068
88	<0,7*	<1,93	<0,002	<0,006	0,3 - 2,0	N: 53° 17' 4" E: 15° 53' 53"	otoczenie stacji nadawczej - ok. 350 m od obiektu wzdłuż gł. osi promieniowania - GKP	<0,069	<0,068
89	<0,7*	<1,93	<0,002	<0,006	0,3 - 2,0	N: 53° 17' 2,9" E: 15° 53' 51"	otoczenie stacji nadawczej - ok. 400 m od obiektu wzdłuż gł. osi promieniowania - GKP	<0,069	<0,068
90	<0,7*	<1,93	<0,002	<0,006	0,3 - 2,0	N: 53° 17' 1,8" E: 15° 53' 49"	otoczenie stacji nadawczej - ok. 450 m od obiektu wzdłuż gł. osi promieniowania - GKP	<0,069	<0,068
91	<0,7*	<1,93	<0,002	<0,006	0,3 - 2,0	N: 53° 17' 0,7" E: 15° 53' 47"	otoczenie stacji nadawczej - ok. 500 m od obiektu wzdłuż gł. osi promieniowania - GKP	<0,069	<0,068
92	<0,7*	<1,93	<0,002	<0,006	0,3 - 2,0	N: 53° 17' 10,7" E: 15° 54' 4"	otoczenie stacji nadawczej - ok. 50 m od obiektu wzdłuż gł. osi promieniowania - GKP	<0,069	<0,068
93	<0,7*	<1,93	<0,002	<0,006	0,3 - 2,0	N: 53° 17' 9,9" E: 15° 54' 2,3"	otoczenie stacji nadawczej - ok. 100 m od obiektu wzdłuż gł. osi promieniowania - GKP	<0,069	<0,068
94	<0,7*	<1,93	<0,002	<0,006	0,3 - 2,0	N: 53° 17' 9" E: 15° 54' 0,1"	otoczenie stacji nadawczej - ok. 150 m od obiektu wzdłuż gł. osi promieniowania - GKP	<0,069	<0,068
95	<0,7*	<1,93	<0,002	<0,006	0,3 - 2,0	N: 53° 17' 8,1" E: 15° 53' 57,8"	otoczenie stacji nadawczej - ok. 200 m od obiektu wzdłuż gł. osi promieniowania - GKP	<0,069	<0,068
96	<0,7*	<1,93	<0,002	<0,006	0,3 - 2,0	N: 53° 17' 7,3" E: 15° 53' 55,5"	otoczenie stacji nadawczej - ok. 250 m od obiektu wzdłuż gł. osi promieniowania - GKP	<0,069	<0,068
97	<0,7*	<1,93	<0,002	<0,006	0,3 - 2,0	N: 53° 17' 6,4" E: 15° 53' 53,2"	otoczenie stacji nadawczej - ok. 300 m od obiektu wzdłuż gł. osi promieniowania - GKP	<0,069	<0,068
98	<0,7*	<1,93	<0,002	<0,006	0,3 - 2,0	N: 53° 17' 5,5" E: 15° 53' 51"	otoczenie stacji nadawczej - ok. 350 m od obiektu wzdłuż gł. osi promieniowania - GKP	<0,069	<0,068
99	<0,7*	<1,93	<0,002	<0,006	0,3 - 2,0	N: 53° 17' 4,7" E: 15° 53' 48,7"	otoczenie stacji nadawczej - ok. 400 m od obiektu wzdłuż gł. osi promieniowania - GKP	<0,069	<0,068
100	<0,7*	<1,93	<0,002	<0,006	0,3 - 2,0	N: 53° 17' 3,8" E: 15° 53' 46,4"	otoczenie stacji nadawczej - ok. 450 m od obiektu wzdłuż gł. osi promieniowania - GKP	<0,069	<0,068
101	<0,7*	<1,93	<0,002	<0,006	0,3 - 2,0	N: 53° 17' 2,9" E: 15° 53' 44,1"	otoczenie stacji nadawczej - ok. 500 m od obiektu wzdłuż gł. osi promieniowania - GKP	<0,069	<0,068
102	<0,7*	<1,93	<0,002	<0,006	0,3 - 2,0	N: 53° 17' 2" E: 15° 53' 41,9"	otoczenie stacji nadawczej - ok. 550 m od obiektu wzdłuż gł. osi promieniowania - GKP	<0,069	<0,068
103	<0,7*	<1,93	<0,002	<0,006	0,3 - 2,0	N: 53° 17' 1,2" E: 15° 53' 39,6"	otoczenie stacji nadawczej - ok. 600 m od obiektu wzdłuż gł. osi promieniowania - GKP	<0,069	<0,068
104	<0,7*	<1,93	<0,002	<0,006	0,3 - 2,0	N: 53° 17' 0,3" E: 15° 53' 37,3"	otoczenie stacji nadawczej - ok. 650 m od obiektu wzdłuż gł. osi promieniowania - GKP	<0,069	<0,068
105	<0,7*	<1,93	<0,002	<0,006	0,3 - 2,0	N: 53° 17' 11,3" E: 15° 54' 4,2"	otoczenie stacji nadawczej - ok. 50 m od obiektu wzdłuż gł. osi promieniowania - GKP	<0,069	<0,068
106	<0,7*	<1,93	<0,002	<0,006	0,3 - 2,0	N: 53° 17' 10,9" E: 15° 54' 1,6"	otoczenie stacji nadawczej - ok. 100 m od obiektu wzdłuż gł. osi promieniowania - GKP	<0,069	<0,068
107	<0,7*	<1,93	<0,002	<0,006	0,3 - 2,0	N: 53° 17' 10,6" E: 15° 53' 59"	otoczenie stacji nadawczej - ok. 150 m od obiektu wzdłuż gł. osi promieniowania - GKP	<0,069	<0,068
108	<0,7*	<1,93	<0,002	<0,006	0,3 - 2,0	N: 53° 17' 10,2" E: 15° 53' 56,3"	otoczenie stacji nadawczej - ok. 200 m od obiektu wzdłuż gł. osi promieniowania - GKP	<0,069	<0,068
109	<0,7*	<1,93	<0,002	<0,006	0,3 - 2,0	N: 53° 17' 9,9" E: 15° 53' 53,7"	otoczenie stacji nadawczej - ok. 250 m od obiektu wzdłuż gł. osi promieniowania - GKP	<0,069	<0,068
110	<0,7*	<1,93	<0,002	<0,006	0,3 - 2,0	N: 53° 17' 9,5" E: 15° 53' 51,1"	otoczenie stacji nadawczej - ok. 300 m od obiektu wzdłuż gł. osi promieniowania - GKP	<0,069	<0,068
111	<0,7*	<1,93	<0,002	<0,006	0,3 - 2,0	N: 53° 17' 9,2" E: 15° 53' 48,5"	otoczenie stacji nadawczej - ok. 350 m od obiektu wzdłuż gł. osi promieniowania - GKP	<0,069	<0,068
112	<0,7*	<1,93	<0,002	<0,006	0,3 - 2,0	N: 53° 17' 8,8" E: 15° 53' 45,8"	otoczenie stacji nadawczej - ok. 400 m od obiektu wzdłuż gł. osi promieniowania - GKP	<0,069	<0,068
113	<0,7*	<1,93	<0,002	<0,006	0,3 - 2,0	N: 53° 17' 8,5" E: 15° 53' 43,2"	otoczenie stacji nadawczej - ok. 450 m od obiektu wzdłuż gł. osi promieniowania - GKP	<0,069	<0,068
114	<0,7*	<1,93	<0,002	<0,006	0,3 - 2,0	N: 53° 17' 8,1" E: 15° 53' 40,6"	otoczenie stacji nadawczej - ok. 500 m od obiektu wzdłuż gł. osi promieniowania - GKP	<0,069	<0,068
115	<0,7*	<1,93	<0,002	<0,006	0,3 - 2,0	N: 53° 17' 7,8" E: 15° 53' 37,9"	otoczenie stacji nadawczej - ok. 550 m od obiektu wzdłuż gł. osi promieniowania - GKP	<0,069	<0,068
116	1,2	3,30	0,003	0,009	1,8	N: 53° 17' 11,8" E: 15° 54' 4,2"	otoczenie stacji nadawczej - ok. 50 m od obiektu wzdłuż gł. osi promieniowania - GKP	0,118	0,116
117	<0,7*	<1,93	<0,002	<0,006	0,3 - 2,0	N: 53° 17' 12" E: 15° 54' 1,5"	otoczenie stacji nadawczej - ok. 100 m od obiektu wzdłuż gł. osi promieniowania - GKP	<0,069	<0,068

„Bez pisemnej zgody Laboratorium niniejsze sprawozdanie nie może być powielane inaczej, jak tylko w całości. Ponadto wyniki dotyczą tylko badanych obiektów przywołanych w niniejszym sprawozdaniu z badań”
02/04/OŚ/2021 - ELT

118	<0,7*	<1,93	<0,002	<0,006	0,3 - 2,0	N: 53° 17' 12,2" E: 15° 53' 58,9"	otoczenie stacji nadawczej - ok. 150 m od obiektu wzdłuż gł. osi promieniowania - GKP	<0,069	<0,068
119	<0,7*	<1,93	<0,002	<0,006	0,3 - 2,0	N: 53° 17' 12,5" E: 15° 53' 56,2"	otoczenie stacji nadawczej - ok. 200 m od obiektu wzdłuż gł. osi promieniowania - GKP	<0,069	<0,068
120	<0,7*	<1,93	<0,002	<0,006	0,3 - 2,0	N: 53° 17' 12,7" E: 15° 53' 53,5"	otoczenie stacji nadawczej - ok. 250 m od obiektu wzdłuż gł. osi promieniowania - GKP	<0,069	<0,068
121	<0,7*	<1,93	<0,002	<0,006	0,3 - 2,0	N: 53° 17' 12,9" E: 15° 53' 50,8"	otoczenie stacji nadawczej - ok. 300 m od obiektu wzdłuż gł. osi promieniowania - GKP	<0,069	<0,068
122	<0,7*	<1,93	<0,002	<0,006	0,3 - 2,0	N: 53° 17' 12,4" E: 15° 53' 48,1"	otoczenie stacji nadawczej - ok. 350 m od obiektu wzdłuż gł. osi promieniowania - GKP	<0,069	<0,068
123	<0,7*	<1,93	<0,002	<0,006	0,3 - 2,0	N: 53° 17' 11,9" E: 15° 53' 45,3"	otoczenie stacji nadawczej - ok. 400 m od obiektu wzdłuż gł. osi promieniowania - GKP	<0,069	<0,068
124	<0,7*	<1,93	<0,002	<0,006	0,3 - 2,0	N: 53° 17' 13,5" E: 15° 53' 42,8"	otoczenie stacji nadawczej - ok. 450 m od obiektu wzdłuż gł. osi promieniowania - GKP	<0,069	<0,068
125	<0,7*	<1,93	<0,002	<0,006	0,3 - 2,0	N: 53° 17' 13,7" E: 15° 53' 40,2"	otoczenie stacji nadawczej - ok. 500 m od obiektu wzdłuż gł. osi promieniowania - GKP	<0,069	<0,068
126	<0,7*	<1,93	<0,002	<0,006	0,3 - 2,0	N: 53° 17' 13,9" E: 15° 53' 37,5"	otoczenie stacji nadawczej - ok. 550 m od obiektu wzdłuż gł. osi promieniowania - GKP	<0,069	<0,068
127	<0,7*	<1,93	<0,002	<0,006	0,3 - 2,0	N: 53° 17' 14,1" E: 15° 53' 34,8"	otoczenie stacji nadawczej - ok. 600 m od obiektu wzdłuż gł. osi promieniowania - GKP	<0,069	<0,068
128	<0,7*	<1,93	<0,002	<0,006	0,3 - 2,0	N: 53° 17' 14,4" E: 15° 53' 33"	otoczenie stacji nadawczej - ok. 650 m od obiektu wzdłuż gł. osi promieniowania - GKP	<0,069	<0,068
129	<0,7*	<1,93	<0,002	<0,006	0,3 - 2,0	N: 53° 17' 12,4" E: 15° 54' 4,5"	otoczenie stacji nadawczej - ok. 50 m od obiektu wzdłuż gł. osi promieniowania - GKP	<0,069	<0,068
130	<0,7*	<1,93	<0,002	<0,006	0,3 - 2,0	N: 53° 17' 13,1" E: 15° 54' 2,1"	otoczenie stacji nadawczej - ok. 100 m od obiektu wzdłuż gł. osi promieniowania - GKP	<0,069	<0,068
131	<0,7*	<1,93	<0,002	<0,006	0,3 - 2,0	N: 53° 17' 13,9" E: 15° 53' 59,7"	otoczenie stacji nadawczej - ok. 150 m od obiektu wzdłuż gł. osi promieniowania - GKP	<0,069	<0,068
132	<0,7*	<1,93	<0,002	<0,006	0,3 - 2,0	N: 53° 17' 14,6" E: 15° 53' 57,3"	otoczenie stacji nadawczej - ok. 200 m od obiektu wzdłuż gł. osi promieniowania - GKP	<0,069	<0,068
133	<0,7*	<1,93	<0,002	<0,006	0,3 - 2,0	N: 53° 17' 14,1" E: 15° 53' 54,6"	otoczenie stacji nadawczej - ok. 250 m od obiektu wzdłuż gł. osi promieniowania - GKP	<0,069	<0,068
134	<0,7*	<1,93	<0,002	<0,006	0,3 - 2,0	N: 53° 17' 13,7" E: 15° 53' 52,2"	otoczenie stacji nadawczej - ok. 300 m od obiektu wzdłuż gł. osi promieniowania - GKP	<0,069	<0,068
135	<0,7*	<1,93	<0,002	<0,006	0,3 - 2,0	N: 53° 17' 16,8" E: 15° 53' 50,1"	otoczenie stacji nadawczej - ok. 350 m od obiektu wzdłuż gł. osi promieniowania - GKP	<0,069	<0,068
136	<0,7*	<1,93	<0,002	<0,006	0,3 - 2,0	N: 53° 17' 17,6" E: 15° 53' 47,7"	otoczenie stacji nadawczej - ok. 400 m od obiektu wzdłuż gł. osi promieniowania - GKP	<0,069	<0,068
137	<0,7*	<1,93	<0,002	<0,006	0,3 - 2,0	N: 53° 17' 18,3" E: 15° 53' 45,4"	otoczenie stacji nadawczej - ok. 450 m od obiektu wzdłuż gł. osi promieniowania - GKP	<0,069	<0,068
138	<0,7*	<1,93	<0,002	<0,006	0,3 - 2,0	N: 53° 17' 19,1" E: 15° 53' 43"	otoczenie stacji nadawczej - ok. 500 m od obiektu wzdłuż gł. osi promieniowania - GKP	<0,069	<0,068
139	<0,7*	<1,93	<0,002	<0,006	0,3 - 2,0	N: 53° 17' 12,9" E: 15° 54' 5,1"	otoczenie stacji nadawczej - ok. 50 m od obiektu wzdłuż gł. osi promieniowania - GKP	<0,069	<0,068
140	<0,7*	<1,93	<0,002	<0,006	0,3 - 2,0	N: 53° 17' 13,6" E: 15° 54' 2,6"	otoczenie stacji nadawczej - ok. 100 m od obiektu wzdłuż gł. osi promieniowania - GKP	<0,069	<0,068
141	<0,7*	<1,93	<0,002	<0,006	0,3 - 2,0	N: 53° 17' 14,6" E: 15° 54' 0,6"	otoczenie stacji nadawczej - ok. 150 m od obiektu wzdłuż gł. osi promieniowania - GKP	<0,069	<0,068
142	<0,7*	<1,93	<0,002	<0,006	0,3 - 2,0	N: 53° 17' 15,7" E: 15° 53' 58,5"	otoczenie stacji nadawczej - ok. 200 m od obiektu wzdłuż gł. osi promieniowania - GKP	<0,069	<0,068
143	<0,7*	<1,93	<0,002	<0,006	0,3 - 2,0	N: 53° 17' 14,6" E: 15° 54' 4"	otoczenie stacji nadawczej - ok. 100 m od obiektu wzdłuż gł. osi promieniowania - GKP	<0,069	<0,068
144	<0,7*	<1,93	<0,002	<0,006	0,3 - 2,0	N: 53° 17' 15,9" E: 15° 54' 0,8"	otoczenie stacji nadawczej - ok. 150 m od obiektu wzdłuż gł. osi promieniowania - GKP	<0,069	<0,068
145	<0,7*	<1,93	<0,002	<0,006	0,3 - 2,0	N: 53° 17' 18,5" E: 15° 53' 51,9"	otoczenie stacji nadawczej - ok. 350 m od obiektu wzdłuż gł. osi promieniowania - GKP	<0,069	<0,068
146	<0,7*	<1,93	<0,002	<0,006	0,3 - 2,0	N: 53° 17' 19,5" E: 15° 53' 49,8"	otoczenie stacji nadawczej - ok. 400 m od obiektu wzdłuż gł. osi promieniowania - GKP	<0,069	<0,068
147	<0,7*	<1,93	<0,002	<0,006	0,3 - 2,0	N: 53° 17' 20,5" E: 15° 53' 47,6"	otoczenie stacji nadawczej - ok. 450 m od obiektu wzdłuż gł. osi promieniowania - GKP	<0,069	<0,068
148	<0,7*	<1,93	<0,002	<0,006	0,3 - 2,0	N: 53° 17' 21,5" E: 15° 53' 45,5"	otoczenie stacji nadawczej - ok. 500 m od obiektu wzdłuż gł. osi promieniowania - GKP	<0,069	<0,068
149	<0,7*	<1,93	<0,002	<0,006	0,3 - 2,0	N: 53° 17' 22,8" E: 15° 53' 43,8"	otoczenie stacji nadawczej - ok. 550 m od obiektu wzdłuż gł. osi promieniowania - GKP	<0,069	<0,068
150	<0,7*	<1,93	<0,002	<0,006	0,3 - 2,0	N: 53° 17' 23,4" E: 15° 53' 41,2"	otoczenie stacji nadawczej - ok. 600 m od obiektu wzdłuż gł. osi promieniowania - GKP	<0,069	<0,068

„Bez pisemnej zgody Laboratorium niniejsze sprawozdanie nie może być powielane inaczej, jak tylko w całości. Ponadto wyniki dotyczą tylko badanych obiektów przywołanych w niniejszym sprawozdaniu z badań”
02/04/OŚ/2021 - ELT

151	<0,7*	<1,93	<0,002	<0,006	0,3 - 2,0	N: 53° 17' 24,4" E: 15° 53' 39,1"	otoczenie stacji nadawczej - ok. 650 m od obiektu wzdłuż gł. osi promieniowania - GKP	<0,069	<0,068
152	<0,7*	<1,93	<0,002	<0,006	0,3 - 2,0	N: 53° 17' 13,3" E: 15° 54' 6,1"	otoczenie stacji nadawczej - ok. 50 m od obiektu wzdłuż gł. osi promieniowania - GKP	<0,069	<0,068
153	<0,7*	<1,93	<0,002	<0,006	0,3 - 2,0	N: 53° 17' 14,8" E: 15° 54' 6,2"	otoczenie stacji nadawczej - ok. 100 m od obiektu wzdłuż gł. osi promieniowania - GKP	<0,069	<0,068
154	<0,7*	<1,93	<0,002	<0,006	0,3 - 2,0	N: 53° 17' 16,4" E: 15° 54' 5,3"	otoczenie stacji nadawczej - ok. 150 m od obiektu wzdłuż gł. osi promieniowania - GKP	<0,069	<0,068
155	<0,7*	<1,93	<0,002	<0,006	0,3 - 2,0	N: 53° 17' 18" E: 15° 54' 5,5"	otoczenie stacji nadawczej - ok. 200 m od obiektu wzdłuż gł. osi promieniowania - GKP	<0,069	<0,068
156	<0,7*	<1,93	<0,002	<0,006	0,3 - 2,0	N: 53° 17' 19,6" E: 15° 54' 5,1"	otoczenie stacji nadawczej - ok. 250 m od obiektu wzdłuż gł. osi promieniowania - GKP	<0,069	<0,068
157	<0,7*	<1,93	<0,002	<0,006	0,3 - 2,0	N: 53° 17' 21,2" E: 15° 54' 4,8"	otoczenie stacji nadawczej - ok. 300 m od obiektu wzdłuż gł. osi promieniowania - GKP	<0,069	<0,068
158	<0,7*	<1,93	<0,002	<0,006	0,3 - 2,0	N: 53° 17' 22,8" E: 15° 54' 4,4"	otoczenie stacji nadawczej - ok. 350 m od obiektu wzdłuż gł. osi promieniowania - GKP	<0,069	<0,068
159	<0,7*	<1,93	<0,002	<0,006	0,3 - 2,0	N: 53° 17' 24,4" E: 15° 54' 4,1"	otoczenie stacji nadawczej - ok. 400 m od obiektu wzdłuż gł. osi promieniowania - GKP	<0,069	<0,068
160	<0,7*	<1,93	<0,002	<0,006	0,3 - 2,0	N: 53° 17' 26,1" E: 15° 54' 3,7"	otoczenie stacji nadawczej - ok. 450 m od obiektu wzdłuż gł. osi promieniowania - GKP	<0,069	<0,068
161	<0,7*	<1,93	<0,002	<0,006	0,3 - 2,0	N: 53° 17' 27,7" E: 15° 54' 3,4"	otoczenie stacji nadawczej - ok. 500 m od obiektu wzdłuż gł. osi promieniowania - GKP	<0,069	<0,068
162	<0,7*	<1,93	<0,002	<0,006	0,3 - 2,0	N: 53° 17' 16,4" E: 15° 54' 7,1"	otoczenie stacji nadawczej - ok. 150 m od obiektu wzdłuż gł. osi promieniowania - GKP	<0,069	<0,068
163	<0,7*	<1,93	<0,002	<0,006	0,3 - 2,0	N: 53° 17' 16" E: 15° 54' 10,7"	otoczenie stacji nadawczej - PKP	<0,069	<0,068
164	<0,7*	<1,93	<0,002	<0,006	0,3 - 2,0	N: 53° 17' 14,8" E: 15° 54' 12,7"	otoczenie stacji nadawczej - PKP	<0,069	<0,068
165	<0,7*	<1,93	<0,002	<0,006	0,3 - 2,0	N: 53° 17' 13,6" E: 15° 54' 11,1"	otoczenie stacji nadawczej - PKP	<0,069	<0,068
166	<0,7*	<1,93	<0,002	<0,006	0,3 - 2,0	N: 53° 17' 14,3" E: 15° 54' 13,6"	otoczenie stacji nadawczej - PKP	<0,069	<0,068
167	<0,7*	<1,93	<0,002	<0,006	0,3 - 2,0	N: 53° 17' 12,6" E: 15° 54' 14,7"	otoczenie stacji nadawczej - PKP	<0,069	<0,068
168	<0,7*	<1,93	<0,002	<0,006	0,3 - 2,0	N: 53° 17' 12,3" E: 15° 54' 12,2"	otoczenie stacji nadawczej - PKP	<0,069	<0,068
169	<0,7*	<1,93	<0,002	<0,006	0,3 - 2,0	N: 53° 17' 10,7" E: 15° 54' 12"	otoczenie stacji nadawczej - PKP	<0,069	<0,068
170	<0,7*	<1,93	<0,002	<0,006	0,3 - 2,0	N: 53° 17' 10,3" E: 15° 54' 14,5"	otoczenie stacji nadawczej - PKP	<0,069	<0,068
171	<0,7*	<1,93	<0,002	<0,006	0,3 - 2,0	N: 53° 17' 7,5" E: 15° 54' 11"	otoczenie stacji nadawczej - ok. 150 m od obiektu wzdłuż gł. osi promieniowania - GKP	<0,069	<0,068
172	<0,7*	<1,93	<0,002	<0,006	0,3 - 2,0	N: 53° 17' 8,9" E: 15° 54' 9,3"	otoczenie stacji nadawczej - ok. 100 m od obiektu wzdłuż gł. osi promieniowania - GKP	<0,069	<0,068
173	<0,7*	<1,93	<0,002	<0,006	0,3 - 2,0	N: 53° 17' 10,2" E: 15° 54' 7,1"	otoczenie stacji nadawczej - PKP	<0,069	<0,068
174	<0,7*	<1,93	<0,002	<0,006	0,3 - 2,0	N: 53° 17' 8,7" E: 15° 54' 4,9"	otoczenie stacji nadawczej - PKP	<0,069	<0,068
175	<0,7*	<1,93	<0,002	<0,006	0,3 - 2,0	N: 53° 17' 7,6" E: 15° 54' 3,2"	otoczenie stacji nadawczej - PKP	<0,069	<0,068
A	0,9	2,48	0,002	0,007	1,4	N: 53° 17' 10,2" E: 15° 54' 10,1"	ul. Janowiecka 4, pomiar przed wejściem, gospodarstwo rolne - DPP	0,088	0,087
B	<0,7*	<1,93	<0,002	<0,006	0,3 - 2,0	N: 53° 17' 3,5" E: 15° 54' 18"	Lipinki 1, pomiar przed wejściem, gospodarstwo rolne - DPP	<0,069	<0,068
C	<0,7*	<1,93	<0,002	<0,006	0,3 - 2,0	N: 53° 17' 22,1" E: 15° 53' 43,5"	ul. Kwiatowa 21, pomiar przed wejściem, dom jednorodzinny - DPP	<0,069	<0,068

wynik pomiaru pole - E [V/m] - maksymalna wartość chwilowa zmierzona w danych pionie pomiarowym

* poniżej czułości zestawu pomiarowego

GKP – główne kierunki pomiarowe

PKP – pomocnicze kierunki pomiarowe

DPP – dodatkowe punkty pomiarowe

PP – pion pomiarowy

U – niepewność pomiarowa dla współczynnika rozszerzenia k=2

k_E – poprawka pomiarowa badanej instalacji radiokomunikacyjnej podana przez operatora (k_E=1,40),

poprawka pomiarowa w przypadku oddziaływania innych instalacji radiokomunikacyjnych na badany obszar (k_E=2,0)

„Bez pisemnej zgody Laboratorium niniejsze sprawozdanie nie może być powielane inaczej, jak tylko w całości. Ponadto wyniki dotyczą tylko badanych obiektów przywołanych w niniejszym sprawozdaniu z badań”

WME – wartość wskaźnikowa poziomu emisji pól elektromagnetycznych dla miejsc dostępnych dla ludności dla składowej elektrycznej pola

WMH – wartość wskaźnikowa poziomu emisji pól elektromagnetycznych dla miejsc dostępnych dla ludności dla składowej magnetycznej pola

Przyjęto najniższą dopuszczalną wartość składowej elektrycznej pola dla objętego pomiarami zakresu częstotliwości $\min(\text{MEgr}) = 28,000 \text{ V/m}$ oraz składowej magnetycznej $\min(\text{MHgr}) = 0,075 \text{ A/m}$.

7. Stwierdzenie zgodności

Na podstawie wytycznych podanych w Rozporządzeniu Ministra Zdrowia z dnia 17 grudnia 2019 r. w sprawie dopuszczalnych poziomów pól elektromagnetycznych w środowisku (Dz.U. 2019 poz. 2448) oraz sposobów sprawdzania dotrzymania tych poziomów zgodnie z Rozporządzeniem Ministra Klimatu z dnia 17 lutego 2020 r. w sprawie sposobów sprawdzania dotrzymania dopuszczalnych poziomów pól elektromagnetycznych w środowisku (Dz.U. 2020 poz. 258) dotyczących źródła wymagań, które muszą być spełnione (załącznik do rozporządzenia Ministra Klimatu z dnia 17 lutego 2020 r. (poz. 258)), w oparciu o zasadę podejmowania decyzji zgodną z pkt 26 załącznika do rozporządzenia Ministra Klimatu z dnia 17 lutego 2020 r. (poz. 258), na podstawie wyników pomiarów pól elektromagnetycznych wykonanych w dniu 06.04.2021r. stwierdzono, iż w miejscach dostępnych dla ludności, dopuszczalne poziomy pól elektromagnetycznych w środowisku, określone w przepisach wydanych na podstawie art. 122 ust. 1 ustawy z dnia 27 kwietnia 2001 r. – Prawo ochrony środowiska, uznaje się za dotrzymane w obszarze pomiarowym, w którym w wyniku zastosowania sposobu sprawdzenia dotrzymania dopuszczalnych poziomów pól elektromagnetycznych w środowisku, udokumentowano, że żadna z wartości wskaźnikowych nie przekracza wartości 1.

8. Oświadczenie.

Wyniki badania odnoszą się wyłącznie do badanego obiektu.

Bez pisemnej zgody sprawozdanie nie może być powielane inaczej, jak tylko w całości.

Uwagi i zastrzeżenia przyjmowane są w formie pisemnej w ciągu 14 dni od daty otrzymania sprawozdania.

9. Spis załączników.

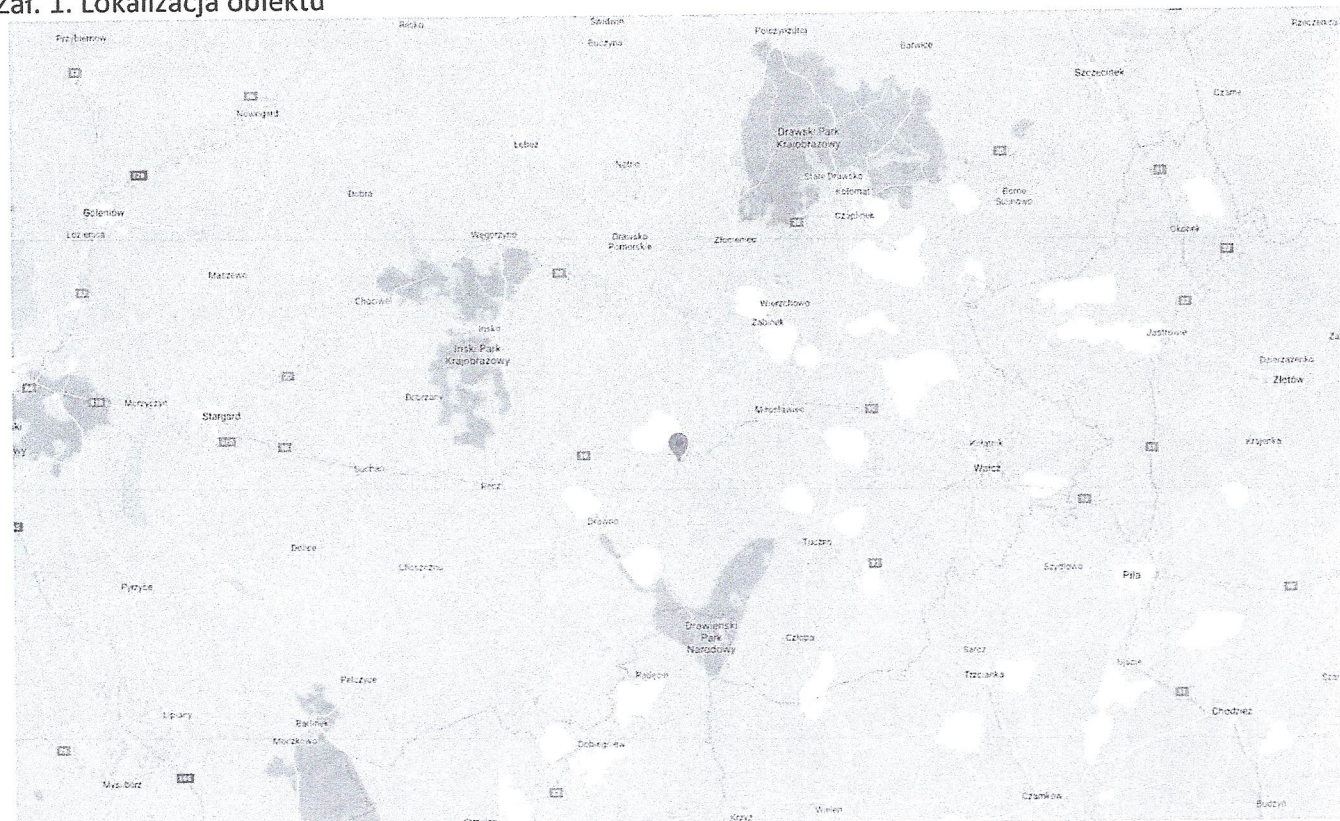
Zał. 1. Lokalizacja obiektu.

Zał. 2. Widok pionów pomiarowych

Zał. 3. Załączniki graficzne.

Koniec sprawozdania

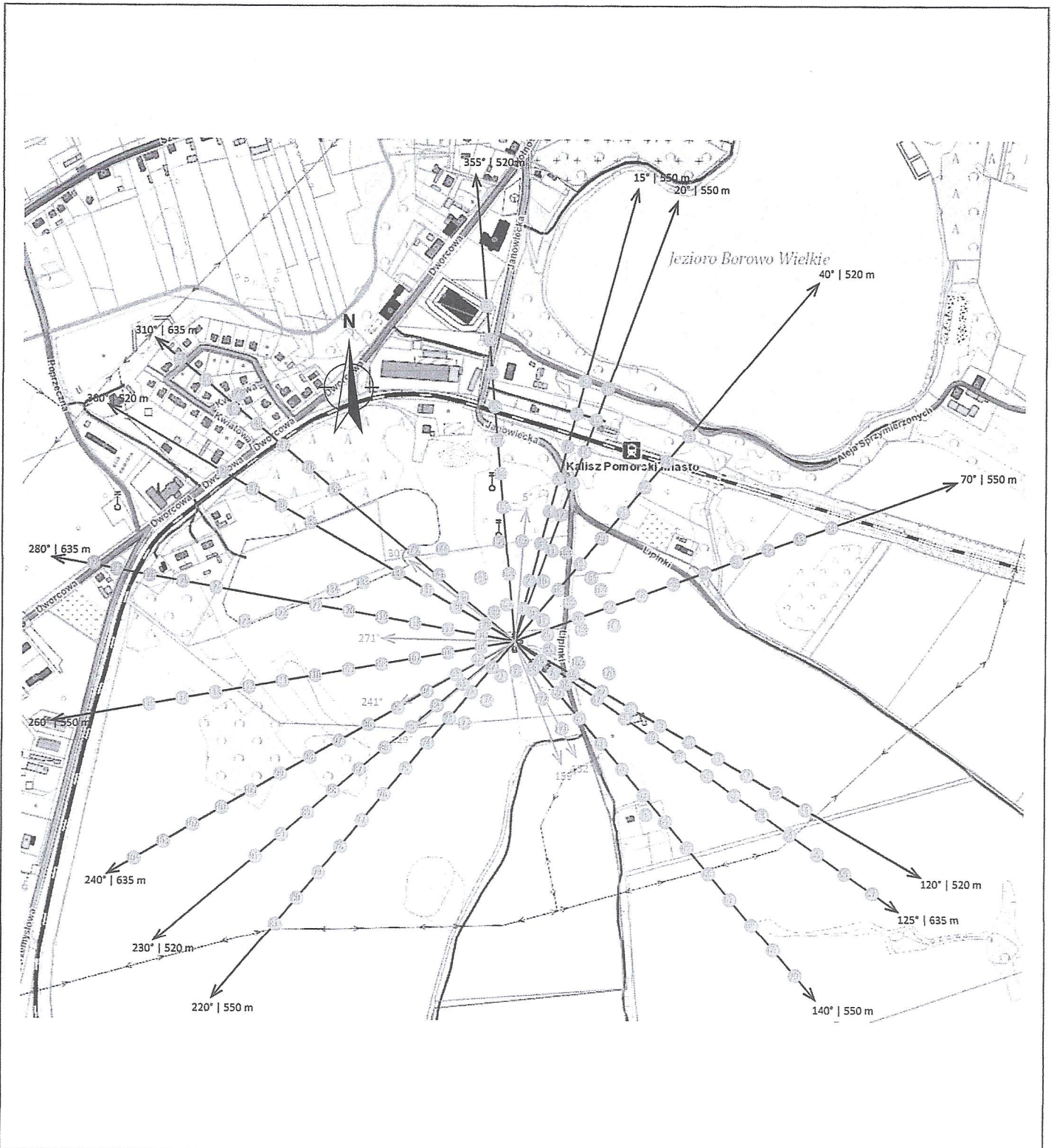
Zał. 1. Lokalizacja obiektu



województwo: zachodniopomorskie

Współrzędne geograficzne	
długość:	E: 15° 54' 6,9"
szerokość:	N: 53° 17' 11,6"

Zał. 2. Widok pionów pomiarowych



LEGENDA:

-  inna instalacja radiokomunikacyjna
-  brak dostępu
-  punkt pomiarowy z poprawką pomiarową podaną przez operatora
-  punkt pomiarowy będący w zasięgu innych instalacji radiokomunikacyjnych z poprawką pomiarową 2,0
-  antena sektorowa
-  antena radioliniowa

Odległość, do której zostały wykonane pomiary mierząc od instalacji antenowej wynosi min. 635 m.

Skala: 1:8300

„Bez pisemnej zgody Laboratorium niniejsze sprawozdanie nie może być powielane inaczej, jak tylko w całości. Ponadto wyniki dotyczą tylko badanych obiektów przywołanych w niniejszym sprawozdaniu z badań”

Załącznik 3. Załączniki graficzne.

